⑩日本国特許庁(JP) ⑪特許出願公告

許 公 報(B2)

平5-15201

®Int. Cl. ⁵

識別記号

庁内勢理番号

2020公告 平成5年(1993)3月1日

G 01 B 11/06

Z 7625-2F

発明の数 1 (全7頁)

60発明の名称 赤外線厚さ計の検出信号処理方法 ❸公 開 昭63-277910 **郊特 顧 昭62-111691** @昭63(1988)11月15日 顧 昭62(1987)5月9日 会出 静岡県沼津市大岡2068の3 東芝機械株式会社沼津事業所 # 0 の発 明 静岡県沼津市大岡2068の3 東芝機械株式会社沼津事業所 给 @発 明 静岡県沼津市大岡2068の3 東芝機械株式会社沼津事業所 岩田 伊発 明 東京都中央区銀座4丁目2番11号 東芝機械株式会社 の出 願 人 弁理士 浜田 冶雄 砂代 理 人 田部 元 史 審査官

の特許請求の範囲

1 被測定物の吸光係数に基づく、透過光量検出 **信号の被測定物厚さに関する減少率を透過光量検** 出信号の大きさに関する関数として設定し、この 関数を演算処理することにより検量線を設定して 5 なる赤外線厚さ計の検出信号処理方法において、

前記関数は、次式(1)

$$dx/dt = -\alpha x^n$$

ここで、x=lnI

I=透過光量検出信号値

t=被測定物厚さ

α=パラメータ

n=ベキ数

であり、式(1)における透過光量検出信号値 1 は、 次式(2)

 $I = I_0(1-r) e^{-at}$

ここで、lo=被測定物厚さtが0である場合、 すなわち光路がオープンである

場合の光量検出信号値

r=被測定物の反射率

μ=被測定物の吸光係数

で規定し、

さらに演算処理は、厚さta, tb, …既知のサン

2

プルTa, Tb, …を用いて、前記式(1)を積分して 得られる次式(3)

$$t = -\frac{1}{(1-n)\alpha} \{x^{(1-n)} - x_0^{(1-n)}\}$$
 ...(3)

ここで、xo=被測定物厚さtが0である場合、 すなわち光路がオープンである 場合の光量検出信号の対数値

但し、n ≠ I

と、n=1である場合に適用する次式(4)

$$t = -\frac{1}{a} (\ln x - \ln x_0) \qquad \cdots (4)$$

とに基づいて前記各サンプルの計算厚さta', tb', …を計測し、逐次最小二乗法演算によつて、計算 厚さと真の厚さとの相関係数mの値が最大となる 15 ベキ数ヵの値を選定することを特徴とする赤外線 厚さ計の検出信号処理方法。

発明の詳細な説明

〔産業上の利用分野〕

本発明は、赤外線厚さ計において被測定物の種 20 類に応じて予め行なわれる計器の校正方法に係 り、殊にこの場合における検出信号の処理方法に 関する。

〔従来の技術〕

---{1}

---(2)

3

一般に、赤外線厚さ計は、光源と光検出器との 間に被測定物を配置し、光顔からの光が被測定物 を透過する時に吸収・散乱によつて減衰し、この 減衰量が被測定物の厚さの関数であることを利用 して、被測定物の厚さを測定するものである。

この場合、前述の透過光の減衰量は被測定物の 特性によって変動するので、測定に先立つて計器 の校正が行なわれる。この校正は、被測定物の特 性によって定まる基準線すなわち検量線を設定す ることによつて行なわれる。この検量線し(第3 10 の計測値 図参照)は、後で詳しく説明するが、既知の厚さ ta, thを有する被測定物のサンプルTa, Tbの透 過光量la, Ibを測定することにより設定され、セ ミ対数グラフ、すなわち横軸に厚さtをとり縦軸 示すグラフ)上においては直線で表示される。そ して、この検量線上が設定されると、被測定物 Tiの透過光量liを測定することにより、被測定物 Tiの厚さtiが自動的に計測される。この厚さ ゼ'は、通常、厚さ計に備えられるCRTに表示さ 20 式 れるか、プリンタから配録出力される。

ところで、前述の透過光量の減衰量と被測定物 の厚さに関する関数すなわち物理則としては、従 来は下記の(5)式

 $l = l_0 e^{-at}$

ここで、【=被測定物の透過光量検出信号値 Ia=光路がオープンである場合の光量 検出信号値

μ=被測定物の吸光係数

t=被測定物の厚さ

が用いられていた。すなわち、透過光量の減衰量 は被測定物の吸光係数μによってのみ定められて いた。

しかるに、前配式(5)に基づく計測方法では、例 に光を相当に反射するものに対しては、被測定物 の計測厚さに誤差が発生していた。そこで、本願 人らは、前述の物理則として前記式(5)に替えて下 記の式(2)

 $1 = [0(1-r)e^{-\mu t}]$

を採用し〔なお、この式は特許請求の範囲2項に 示される式(2)と同一である人 これに基づいて被 測定物の厚さを測定する計測方法(以後第1の計 測方法と称する)を開発し、特許出願を行つた

(特開昭58-176508号公報)。これによれば、従来 誤差を発生させていた反射光の影響が除去される ので、反射率が大きい被測定物に対しても正確な 計測を行なうことができる。

ここで、この第1の計測方法における計器校正 方法に関連して、前述の検量線しの設定について 説明する。検量線Lは、2つのサンプルTa, Tb を計測すること、すなわち前配物理則式(2)を演算 算定することによつて設定される。すなわち、そ

 $la = l_0(1 - r) e^{-rta}$

 $Ib=I_0(1-r)e^{-rtb}$

において、検出信号Ia, Ib, Ioはそれぞれ計測に よつて得られる値であり、厚さta,tbは既知の値 に検出信号 I の対数値をとつたグラフ(第3図に 15 であり、したがつて未知の値は吸光係数μおよび 反射率 r の 2 つであることから、前記 2 つの計測 値から吸光係数μと反射率rが演算算定される。 すなわち、検量線上が設定される。そして、この 検量線しは、前記(2)式を対数変換して得られる下

 $\log_a I = \log_a I_0 (1-r)^{-at}$

において、吸光係数μおよび反射率rが、従来 は、一定とされていたことから、厚さも以外は定 数であり、したがつて検出信号Iの対数値と厚さ ···(5) 25 tとは一次式となり、グラフ·(第3図)上におい て直線で表示される。そして、このような検量線 Lを介して測定される被測定物Tiの測定厚さ ti'は、検量線Lに反射率rのフアクタが含まれて いるので、反射光に基づく従来の計測誤差が除去 30 される。

しかるに更に、第1の計測方法においても、殊 に被測定物の計測厚さレンジが大きい場合に、被 測定物の計測厚さに誤差が発生していた。そこ で、本出願人らは、鋭意研究の結果、この誤差 えばプラスチツクシートあるいはフイルムのよう 35 は、舷測定物の吸光係数が被測定物の厚さに関し て一定でないことによることを突止めた。そし て、このことに基づく測定誤差を、検量線を複数 本に設定することにより解消できるようにした計 測方法(以後第2の計測方法と称する)を開発 …(2) 40 し、特許出顧を行つた (特顧昭62-65766号)。

> 次に、この第2の計測方法につき以下簡単に脱 明する。なお、本計測方法における物理則は、第 1の計測方法と同様に、式(2)で規定される物理則 が用いられる。

本計測方法においては、計器校正時すなわち検 量線の設定時に被測定物の厚さレンジに応じて適 当数の厚さ既知のサンブルTa, TbおよびTc~ Tgが選定される。そして、これらサンプルをそ れぞれ厚さ計により計測、演算算定したうえで、 5 と増大される。 第4図に示すように、厚さ計に備えられたCRT 上にグラフイツク表示する。この場合、サンプル の厚さレンジが大きいと、一般に、サンプルTc ~Tgは検量線L上に位置せず、これらは検量線 Lに対して下向き凸状の曲線Mを画定する。な 10 【問題点を解決するための手段】 お、このことは、物理則式(2)において反射率 r は 変動することがないので、吸光係数μが厚さもに 関して変動し、この変動は厚さもの増加に従つて 漸減することを意味しているものである。そこ えてそれぞれサンブルTa, Td; Te, Tf; Tg, Tbを通る複数本の線分Na, Nb, Ncに設定す る。この検量線Na, Nb, Ncの設定に際しては、 グラフィック表示を観察して曲線Mに近似するよ うに各検量線Na, Nb, Ncを画定するサンプル 20

したがつて、本計測方法によれば、被測定物 Tiの透過光量Iiを測定することにより検量線Ma を介して計測される被測定物Tiの厚さti"は、曲 線Mを介して計測されるべき真の厚さもに対し 25 であり、式(I)における透過光量検出信号値 I は、 て、誤差を生じても、その誤差∆ti"は微小に抑制 される。この誤差Δti"は、同じく第4図に示す第 1の計測方法によつて発生される誤差Δti′に比較 して格段に改良される。なお、反射光に基づく誤 差が除去されていることは勿論である。このよう 30 に、本計制方法によれば、厚さレンジが大きい被 測定物であつても、精度よくその厚さを計測する ことができる。

[発明が解決しようとする問題点]

厚さレンジの大きい被測定物でも精度よく計測す ることができる。しかしながら、このような計測 方法においては、計器の校正に比較的繁雑な手間 と判断を必要とする難点があつた。

すなわち、検量線Na, Nb, Ncの設定にあた 40 つては、多数のサンプルをそれぞれ計測、演算算 定したうえでグラフィック表示し、このグラフを 観察して所要の本数の検量線を設定し、更にこれ ら検量線の各境界値を決定するなどの作業を必要

とするものである。更に、各検量線の設定には判 断を要し、例えば第4図に示すように、検量線 Naに替えてサンプルTa, Tcで定まる検量収 Na'を設定すれば、測定誤差がΔti"からΔti"へ

そこで、本発明の目的は、殊に厚さレンジが大 きい被測定物に対して、その計器校正を簡単容易 に且つ精度良く行なうことができる赤外線厚さ計 の検出信号処理方法を提供することにある。

先の目的を達成するために、本発明の赤外線原 さ計の検出信号処理方法は、被測定物の吸光係数 に基づく、透過光量検出個号の被測定物厚さに関 する減少率を透過光量検出信号の大きさに関する で、本計測方法においては、検量線を線分Lに替 *15* 関数として設定し、この関数を**演算処理すること** により検量線を設定してなる赤外線厚さ計の検出 信号処理方法において、

前記関数は、次式(1)

 $dx/dt = -\alpha x^n$

---(1)

ここで、x=lnl

I =透過光量検出信号値

t=被測定物厚さ

a=パラメータ

n=ベキ数

次式(2)

 $I = I_0(1 - r) e^{-rt}$

ここで、1。=被測定物厚さ t が 0 である場合、 すなわち光路がオープンである

場合の光量検出信号値

r=被測定物の反射率

μ=被測定物の吸光係数

さらに演算処理は、厚さta, tb, …既知のサン このように、前述の第2の計測方法によれば、35 プルTa, Tb, …を用いて、前記式(1)を積分して 得られる次式(3)

$$t = \frac{1}{(1-n)\alpha} \{x^{(t-n)} - x_0^{(t-n)}\} \qquad \cdots (3)$$

ここで、xo=被測定物厚さtが0である場合、 すなわち光路がオープンである 場合の光量検出信号の対数値

但し、n≠1

と、n=1である場合に適用する次式(4)

$$t = -\frac{1}{a} (\ln x - \ln x_0) \qquad \cdots 4$$

とに基づいて前記各サンプルの計算厚さta', tb', …を計測し、逐次最小二乗法演算によつて、計算 厚さと真の厚さとの相関係数mの値が最大となる 5 ペキ数nの値を選定することを特徴とする。

〔作用〕

計器校正における検量線の設定は、所定の関数 をコンピュータによつて逐次演算処理することに なわれる。しかも、前起関数には、吸光係数の被 測定物厚さに関する変動ならびに反射率のそれぞ れのフアクタが含まれているので、厚さレンジが 大きくまた反射率が大きい被測定物に対しても、 正確な計測が行なわれる。

(寒旅例)

次に、本発明に係る赤外線厚さ計の輸出信号処 理方法の実施例につき添付図面を参照しながら以 下詳細に説明する。

先ず初めに、処理方法の説明に先立ち、本発明 20 に係る赤外線厚さ計の構成を簡単に説明する。第 2 図において、赤外線厚さ計は、測定部 1 0 とオ ペレータコンソール12とからなり、測定部10 には赤外線光源14と被測定物あるいはその厚さ 変換素子を有する透過光検出器20が備えられ、 オペレータコンソール12にはA/D変換器2 2、CPU 2 4、内部配修装置 2 6、操作キーボ ード28、CRT30、プリンタ32および外部 レータコンソール12とは変換増幅回路38を介 して接続されると共にCPU24には遠隔操作器 22が備えられている。そして、被測定物の計測 に際しては、赤外線光源14から投射光Laが投 透過光検出器20で検出されて検出信号[に変換 される。次いで、この検出信号 I は、変換増幅回 路38で検出信号Vに対数変換され、得られた検 出信号VはA/D変換器22により被測定物16 0に表示されあるいはプリンタ32から記憶出力 される。この場合、厚さ計の操作は、キーポード 28を介して行なうか、操作器38を介して遠隔 操作される。

次に、本発明に係る赤外線厚さ計の校正方法に つき第1図を参照しながら説明する。校正に際し ては、先ず、光路をオープンにし、ステップS1 において検出信号にを検出し、これを内部記憶装 置26に入力記憶させる。次いで、光路にサンプ ルTa, Tb, …を順次セットし、ステップS2にお いてそれぞれ検出信号liを検出し、これらを内部 記憶装置26に入力記憶させる。次いで、ステッ プS3においてCRT30上に前記記憶データを用 よつて達成されるので、簡単容易に且つ迅速に行 10 いて第4図に示すような検量線をグラフイツク表 示する。この場合、検量線が線分しに近似してい れば、破線で示されているように直ちにステップ S8に進行し、線分しから外れていれば、矯正す なわちリニヤライズ工程へ進行する。

R

リニヤライズ工程においては、前述の式(3)と 15

$$t = -\frac{1}{(1-n)\alpha} (x^{(1-n)} - x_0^{(1-n)})$$
 …(3)
 $n = 1$ である場合に適用する式(4)

$$t = -\frac{1}{\alpha} (\ln x - \ln x_0) \qquad \cdots (4)$$

に基づいて演算処理が進行されるが、ベキ数n は、この演算実行過程で厚さの計算値ta', tb', …と真の厚さta, tb, …との相関係数mが最大と なる値に選定される。そして、このリニヤライズ 既知のサンプル16を保持するホルダ18と光電 25 工程は、ベキ蚊nの逐次計算をn=0,1,2, …のように0から順次整数値を投入して前記mが 最大となるn'の値を選定する第1の工程と、選定 された前記値n'に対して0.1きざみで±0.5の範囲 の数値を投入して前記mが更に最大値となるn'土 記憶装置 34が備えられ、更に測定部 10とオペ 30 $\Delta n'$ の値を選定する第2の工程とに分たれる。す なわち、リニヤライズの第1工程においては、ス テップS4において順次nの値0, 1, 2, …が 投入されこれらに対応するmの値が計算且つ比較 される。 第1 表は、 あるサンプルについてのこの 射され、被測定物16を透過した透過光Lcが、35 ステップにおける計算結果を示し、n = 4におい てmが最大値0.99992となることを示している。 次いで、リニヤライズの第2工程におけるステツ プS6において順次n'の値3.6, 3.7, …が投入され、 これらに対応するmの値が計算且つ比較される。 の厚さを示す信号Wに変換されて、適宜CRT3 40 第2表は、その計算結果を示し、n=4.2におい てmが最大値0.99997となることを示している。 なお、相関係数mの値は、その性質上1を超すこ とはない。なおまた、これらリニヤライズ工程 は、コンピュータによつて自動的に行なわれ、通

常10秒程度で完了される。

宪

n	D
0	0.98117
1	0,98893
2	0.99472
3	0, 99839
(4)	0, 99992
5	0, 99936
6	(0.99687)
7	
-	_

2	
	2

		
n	•	
3.6		
3.9	0,99986	
4.0	0.99992	
4.1	0,99996	
(4.2)	0.99997	
4.3	0,99996	
4.4		
4,5		

このようにして、リニヤライズ工程が完了する と、ステップS8において、前記演算結果に基づ めて計算し、ステップS9においてこれによつて 設定される検量線をグラフィック表示して確認 し、最後に、これらのデータをステップS10にお いて外部記憶装置34に登録する。なお、この登 録に際しては、前述の式(1)は

$t = Ax^{(1-n)} + B$

の形に整理されるので、パラメータA, B, nと して登録すると好適である。

これによつて、計器の校正が完了し、すなわち 検量線の設定が完了し、被測定物Tiはその透過 40 フローチャート、第2図は本発明に係る赤外線厚 光量liを測定することによりその厚さti'が前配検 量線を介して自動的に計測され、その数値が CRTに表示されるか、プリンタから記録出力さ れる。このようにして計測された被測定物の厚さ

10

は、一例として前記リニヤライズ工程で用いられ たサンブルにおいては、そのばらつき(20)が 0.34%であつた。この数値は、同じサンブルに対 する従来の計測方法すなわちリニヤライズを行な 5 わない計測方法における場合のばらつき8.4%に 対して格段の改良が示されたことを示している。

このように、本発明に係る校正方法は、簡単容 易に且つ何ら判断作業を要することなく行なうこ とができ、しかも、その校正誤差を僅少に抑制す 10 ることができる。

以上、本発明の好適な実施例について説明した が、本発明はその精神を逸脱しない範囲内におい て種々の設計変更を行なうことができる。例え ば、ステップS8およびS9におけるグラフイック 15 表示すなわち検量線の旅認操作は省いても良い。 また、本発明は、赤外線厚さ計のみならず、紫外 線などを用いる他の光厚さ計に対しても適用でき ることは勿論である。

(発明の効果)

以上説明したように、本発明に係る赤外線厚さ 計の検出信号処理方法は、被測定物の吸光係数の 変動に基づく、透過光量検出信号の被測定物厚さ に関する減少率を透過光量検出信号の大きさに関 する関数として設定し、この関数を演算処理する 25 ことにより検量線を設定できるように構成したの で、この演算処理をコンピュータによつて行なう ことにより、計器の校正を簡単容易に且つ何ら判 断作業を要することなく達成することができる。 しかも、その校正誤差を僅少に抑制することがで いて各サンプルTa, Tb, …の厚さta', tb'を改 30 きる。したがつて、厚さレンジが大きく吸光係數 が変動する被測定物に対しても、その厚さを、簡 便に且つ正確に計測することができる。更に、前 記関数には、被測定物の反射率に関するフアクタ が含まれているので、反射率が比較的大きい被測 35 定物であつてもその厚さを正確に計測することが できる。

図面の簡単な説明

第1図は本発明に係る赤外線原さ計の検出信号 処理方法における計器校正方法の一実施例を示す さ計の構成を示すプロック図、第3図は従来の赤 外線厚さ計の計器校正の際に設定される検量線を 説明するグラフ、第4図は本発明の基礎となる赤 外線厚さ計の計器校正の際に設定される検量線を

11

説明するグラフである。

10…測定部、12…オペレータコンソール、 14…赤外線光源、16…被測定物またはそのサ ンプル、18…ホルダ、20…透過光検出器、2 憶装置、28…操作キーポード、30…CRT、

32…プリンタ、34…外部配憶装置、38…変 換増幅回路、38…遠隔操作器、T…サンプルま たは被制定物、『···透過光量検出信号、 t···サン プルまたは被測定物の真の厚さ、Δt···計測誤差、 2 ··· A / D 変換器、 2 4 ··· CPU、 2 8 ··· 内部記 5 ť, ť ··· サンプルまたは被測定物の計算厚さまた は計測厚さ。

12

FIG. 1

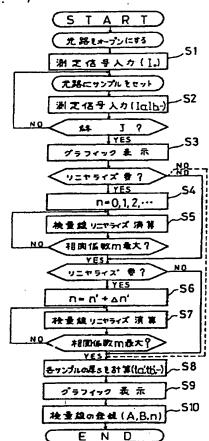


FIG. 2

